

**СЛАБОЕ ЭЛЕКТРИЧЕСКОЕ ПОЛЕ КАК «ИНГИБИТОР» ПРОЦЕССА РАЗЛОЖЕНИЯ,  
ИНИЦИИРОВАННОГО В КРИСТАЛЛАХ АТМ УФ-ОБЛУЧЕНИЕМ**

*В.Г. Маренец, асп., К.С. Туева, асп., А.П. Родзевич\*, ст. преподаватель, Е.Г. Газенаур, к.ф.-м.н., доц.  
Кемеровский государственный университет, 650043, г. Кемерово, ул. Красная, 6, тел. (3842)580605*

*\*Юргинский технологический институт (филиал) Национального исследовательского*

*Томского политехнического университета*

*652055, Кемеровская обл., г. Юрга, ул. Ленинградская, 26, тел. (38451)62248*

*E-mail: nimez@tpu.ru*

Проблема управления скоростью твердофазной химической реакции является одной из центральных проблем физики и химии твердого тела. Особое место в этой проблеме занимает изучение возможностей управления чувствительностью и стабильностью взрывчатых веществ (ВВ). Фундаментальный аспект таких исследований связан с тем, что в случае азидов тяжелых металлов (АТМ), речь фактически идет о поиске путей управления новым классом химических реакций - твердофазными цепными реакциями, роль активных частиц в которых выполняют электронные возбуждения кристаллической решетки. Прикладное значение определяется вопросами безопасности ВВ, охватывающими очень широкий круг проблем (хранение, транспортировка, уничтожение и т.д.).

Азид серебра ( $\text{AgN}_3$ ) – традиционный модельный объект химии твердого тела, способный под действием внешних факторов различной природы претерпевать необратимые превращения с образованием инертных конечных продуктов (молекулярного азота и металла), легко анализируемых традиционными физико-химическими методами. Азиды просты по химическому составу и структуре. Для  $\text{AgN}_3$  и азид свинца ( $\text{PbN}_6$ ) достаточно подробно исследованы физико-химические свойства, определена зонная структура и параметры кристаллической решетки [1]. Близость к галогенидам металлов дает возможность рассматривать неорганические азиды в качестве модельных для создания теории быстрых реакций в твердых телах. Практическая значимость кристаллов азидов серебра и свинца определяется, прежде всего, возможностью использования их в качестве взрывчатых веществ с высокой инициирующей способностью [1], а также чувствительных датчиков измерения сверхнизких электрических и магнитных полей.

Облучение светом в области собственного поглощения, инициирует в кристаллах АТМ процессы разложения, качественная модель которых включает, наряду с генерацией в объеме образца неравновесных электронов и дырок, перенос их к поверхности кристалла в реакционные области, образованные краевыми дислокациями, а также реализацию в реакционных областях цепной химической реакции [2-4]. Процесс разложения азидов после УФ-облучения протекает длительное время после энергетического воздействия (минуты), кривая пост-процессов носит затухающий колебательный характер, связанный с изменением во времени соотношения концентрации свободных электронов и дырок в реакционных областях [3,5]. Наблюдаемые процессы лимитируются ионной стадией (дрейф межузельных катионов серебра или свинца), амплитуда колебаний определяется приповерхностным изгибом зон в реакционных областях, который по оценкам составляет 0,1-0,2 эВ.

О возможности влияния электрического поля на твердофазное разложение различных твердых веществ известно давно. Так, изучая влияние электрического поля на термическое разложение пресованных таблеток оксалата серебра, азидов бария и серебра, авторами [6,7] установлено, что реакция разложения начинается на поверхности исследуемых веществ, а внешнее электрическое поле приводит к загибу зон на поверхности, что влияет на энергию переноса, а также на скорость данного процесса. В работе [7] указывается на возможность использования электрического поля как метода для исследования механизма разложения и как способа стимулирования реакции разложения твердых веществ. Влияние электрического поля на дислокационную структуру кристаллов рассмотрено в работе [8]. В связи с проводимыми в последнее время исследованиями влияния бесконтактного электрического поля на процесс медленного твердофазного разложения, инициированного в кристаллах АТМ электрическим полем [9], а также имеющимися результатами по влиянию слабых электрических полей на процесс кристаллизации и взрывную чувствительность этих материалов [10-12], в настоящей работе сделана попытка обнаружить влияние бесконтактного электрического поля на процесс фотохимического разложения нитевидных кристаллов азидов серебра и свинца. При этом, в качестве основных задач исследования определены: исследование влияния бесконтактного постоянного и переменного электрических полей различной конфигурации на кинетику процессов, протекающих в нитевидных кристаллах азидов серебра и свинца после ультрафиолетового (УФ) облучения; изучение влияния низких и сверхнизких (до  $10^{-4}$  В/м) электрических полей на процесс фотохимиче-

ского разложения АТМ; разработка методов управления реакционной способностью энергетических материалов.

Предложенные в работе методы управления скоростью твердофазной химической реакции с помощью слабых электрических полей, моделирующих реальные условия хранения и транспортировки взрывчатых веществ, могут быть в дальнейшем использованы и для других материалов, проявляющих высокую чувствительность к внешним воздействиям.

В качестве объектов исследования использовали нитевидные кристаллы азидов серебра и свинца со средними размерами  $15 \times 0,1 \times 0,03$  мм<sup>3</sup> и  $5 \times 0,7 \times 0,03$  мм<sup>3</sup> соответственно. Концентрация основных примесей (Fe, Si, Ca, Mg, Al, Na) в полученных нитевидных кристаллах азидов серебра и свинца определялась полярографическим и комплексометрическим анализом и не превышала  $10^{16} \div 10^{17}$  см<sup>-3</sup>. Для проведения экспериментальных исследований готовили образцы азидов свинца и азидов серебра в планарном варианте геометрии: на предварительно обезжиренную этиловым спиртом слюдяную подложку кристаллы наклеивали за оба конца клеем БФ-6. В этом случае возможно фиксирование и объема выделившегося газообразного продукта, и наблюдение топографии распределения его по образцу. Для проведения экспериментальных исследований образцы, приготовленные вышеуказанным способом, облучали УФ-светом с длиной волны 360 нм с помощью ртутной лампы ДРШ-100 (для выделения указанной длины волны использовали интерференционные светофильтры). Расстояние между источником и образцами было постоянным и составляло  $10^{-1}$  м, время облучения для азидов свинца и серебра – 50 с и 35 с соответственно. Интенсивность освещения, оцененная по результатам актинометрии с использованием химического ферриоксалатного актинометра, составляла  $1,167 \times 10^{15}$  квант/(см\*с) и  $1,924 \times 10^{15}$  квант/(см\*с) для азидов свинца и серебра соответственно. Количественный анализ продуктов фотохимического разложения проводили волюмометрическими методами [13], контролируя разложение в анионной подрешетке (по образуемому при разложении газообразному продукту). Промежуточный продукт разложения АТМ, инициированного УФ-облучением, выделяли путем выдержки облученных образцов не менее суток (время образования кластера промежуточного продукта [14]) при комнатной температуре. Поскольку известно, что реакционные области в кристаллах АТМ совпадают с местами выхода дислокаций на поверхность [2,4], возникает необходимость выявления дислокаций. Контрастные ямки травления [15] получались при травлении кристаллов  $\text{AgN}_3$  в 1 N водном растворе тиосульфата натрия,  $\text{PbN}_6$  – в 3 N водном растворе уксуснокислого аммония. Амплитудой и длительностью процессов, протекающих в АТМ после УФ-облучения, а также процессом накопления промежуточного продукта управляли с помощью: 1) бесконтактного поперечного электрического поля, напряженность которого изменяли в интервале  $10^2 \div 10^3$  В/м. Время хранения облученного образца в электрическом поле составляло 5 минут. 2) бесконтактного продольного электрического поля, напряженность которого изменяли в интервале  $10^4 \div 3 \cdot 10^4$  В/м. Электрическое поле прикладывали одновременно с началом облучения. Поскольку бесконтактное электрическое поле является причиной дрейфа не только дырок, но и ионных дефектов, дрейф которых может привести к поляризации кристалла и «гашению» реакции разложения, инициированной УФ-облучением, в работе также использовали переменное электрическое поле частотой 50 Гц. Влияние энергетически слабых электрических полей различной конфигурации на процессы разложения, инициированные в нитевидных кристаллах азидов серебра и свинца УФ-облучением изучали в ячейке, исключаяющей внешнее воздействие на процесс разложения. Для исключения влияния помех от электроприборов использовали элемент питания на 1,5 В. Напряженность постоянного бесконтактного электрического поля варьировали с помощью делителя (набор безындуктивных сопротивлений) в пределах от  $10^4$  до  $10^3$  В/м. При изучении влияния поля на процесс образования промежуточного продукта образцы хранили в бесконтактном электрическом поле различной конфигурации в течение 24 часов. Для изучения процессов, протекающих в АТМ после энергетического воздействия, использовали методику измерения подвижности носителей заряда [5].

При исследовании разложения кристаллов азидов серебра и свинца объем выделившегося газа для разных образцов может значительно отличаться. Количество выделившегося газа определялось по результатам измерений диаметров пузырьков молекулярного азота при числе параллельных опытов  $n$  равно 10. Для расчета погрешностей пользовались методами математической статистики. Выборка результатов определения количества выделившегося газа имеет приближенно нормальный закон распределения. Разброс экспериментальных данных количества выделившегося газа при 95% доверительной вероятности составляет не более 15%. Отношение объема выделяющегося газа к площади поверхности кристалла – относительный объем газообразного продукта разложения АТМ в

анионной подрешетке обозначим  $\beta$ . Обработка экспериментальных результатов проводилась на ПК с использованием программ «Microsoft Excel» и «Mathcad 5.0».

Последние исследования фотохимического разложения азидов тяжелых металлов показали, что в этих материалах длительное время (десять минут) после окончания воздействия протекают процессы разложения (пост-процессы), сопровождаемые генерацией неравновесных электронов и дырок, соотношение концентрации которых периодически меняется в процессе хранения подвергнутых внешнему воздействию образцов [3]. Пост-процессы для азидов серебра и свинца качественно совпадают, однако, различаются периодом колебаний. Характерное значение времени периода пост-процессов (минуты) позволяет сделать предположение о связи их с ионными процессами, например, со стадией роста металлических кластеров, скорость образования которых лимитируется диффузионно-дрейфовой стадией. Исследование экспериментальных кривых с помощью метода нормированного размаха Херста позволяет утверждать, что кинетика процессов, протекающих в нитевидных кристаллах азидов серебра и свинца, не является случайным процессом, поскольку показатель Херста принимает значение  $0,9 \div 1$ , что соответствует процессам с памятью.

Известно, что нитевидные кристаллы азидов серебра и свинца разлагаются под действием внешних энергетических факторов с образованием металла и азота. Последние исследования процессов, протекающих в нитевидных кристаллах азидов серебра после энергетического воздействия, показали, что в объеме кристалла реакция разложения протекает до образования промежуточного продукта, идентифицированного как  $N_6$ , свойства и методики выделения которого хорошо изучены [2,14]. При анализе промежуточного продукта разложения азидов свинца, инициированного УФ-облучением, отмечено существование полосы ( $550 \pm 10$  нм) с увеличением объема выделяющегося газообразного продукта в девять и более раз. По-видимому, в продуктах разложения азидов свинца, инициированного УФ-облучением, содержатся более длинные цепи (исследование этого эффекта требует разработки дополнительных методик). Механизм процессов, протекающих в нитевидных кристаллах азидов серебра и свинца после УФ-облучения, до конца не выяснен. На качественном уровне его можно рассматривать как совокупность следующих процессов [3]: генерацию при энергетическом воздействии в объеме кристалла электронов и дырок; перенос их к поверхности кристалла в реакционные области, образованные краевыми дислокациями в приповерхностной области кристалла; реализацию в реакционных областях цепной химической реакции с образованием в объеме кристалла промежуточных продуктов.

В течение длительного времени после энергетического воздействия в кристалле находятся заряженные частицы и, следовательно, на протекание пост-процессов фотохимического разложения азидов должно оказывать влияние электрическое поле. Как показали результаты экспериментального исследования, с увеличением напряженности, приложенного в момент облучения бесконтактного продольного электрического поля, амплитуда пост-процессов линейно уменьшается. Полученные экспериментальные результаты хорошо согласуются с представлениями о дислокационном механизме реакций, протекающих в исследуемых образцах после энергетического воздействия [3,4]. Дополнительное действие электрического поля, приложенного в момент облучения, приводит к тому, что часть дислокаций выходит из кристалла и, следовательно, уменьшается количество реакционных областей (количество РО определяли: методом ямок травления и по количеству мест газовыделения). Это ведет к изменению дислокационной структуры АТМ, а значит, и реакционной способности этих материалов. Поскольку дислокации в кристаллах АТМ отрицательно заряжены [9], возможно направленное смещение дислокаций в электрическом поле и появляется возможность, с помощью электрического поля, управлять скоростью их направленного движения. Зная подвижность дислокаций в азидов серебра и свинца, которая составляет  $10^{-4}$  см<sup>2</sup> В<sup>-1</sup> с<sup>-1</sup> и  $10^{-5}$  см<sup>2</sup> В<sup>-1</sup> с<sup>-1</sup> соответственно [9], можно рассчитать время, необходимое для смещения дислокаций на определенное расстояние под действием продольного электрического поля, приложенного в момент облучения. Если облучение проводить в продольном электрическом поле напряженностью  $E > 3 \cdot 10^4$  В/м, то можно полностью вывести дислокации из кристалла, после чего кристалл является стабильным по отношению к УФ-облучению в течение, не менее, 24 часов. Таким образом, изменяя, с помощью бесконтактного продольного электрического поля, плотность дислокаций в нитевидных кристаллах азидов серебра и свинца мы можем не только управлять пост процессами, протекающими в них после облучения, но и задавать «рисунок» разложения.

Хранение облученных образцов в поперечном бесконтактном электрическом поле в течение пост-процессов показало значительное влияние поля на амплитуду протекающих процессов, что, по

нашему мнению, можно объяснить следующим образом. Как известно, реакция разложения азидов, инициированная УФ-облучением, протекает в реакционных областях, образованных краевыми дислокациями в приповерхностной области кристалла. В реакционной области существует приповерхностный изгиб энергетических зон и, с помощью поперечного электрического поля можно изменять величину изгиба зон (с учетом большей эффективности бесконтактного электрического поля), что ведет в зависимости от полярности электрического поля, к уменьшению либо увеличению скорости химической реакции (поскольку дырки рассматриваются в качестве реагентов). Кроме этого, столь эффективное влияние бесконтактного постоянного поперечного электрического поля на кинетику пост-процессов можно связать с переносом ионов серебра  $\text{Ag}^+$  на поверхность кристалла в случае приложения заряженной отрицательно обкладки конденсатора к поверхности кристалла, на которую воздействовали УФ-светом. Экспериментальные результаты показали, что поперечное бесконтактное электрическое поле оказывает влияние и на процесс образования промежуточного продукта разложения азидов (см. рис. 1). С помощью поперечного бесконтактного поля удалось существенно уменьшить время формирования кластера промежуточного продукта.

Таким образом, предложенная выше методика управления амплитудой процессов, протекающих в азиде после УФ-облучения, с помощью бесконтактного электрического поля позволяет управлять не только скоростью твердофазной химической реакции, а значит и реакционной способностью энергетических материалов при данном виде воздействия, но и временем появления промежуточного продукта в виде пузырька газа, что существенно важно в методическом плане его обнаружения.

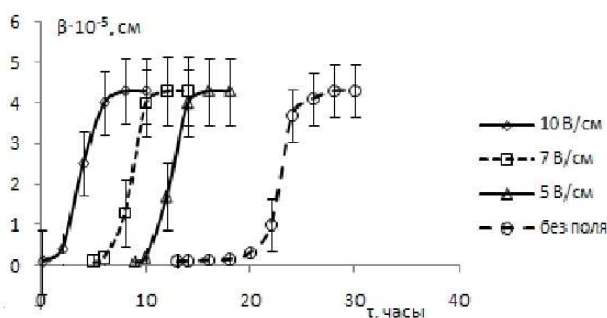


Рис. 1. Зависимость относительного объема промежуточного продукта от времени хранения образца при различных напряженностях поперечного бесконтактного электрического поля (для  $\text{AgN}_3$ )

Экспериментальные исследования показали значительное влияние энергетически слабого бесконтактного постоянного поперечного электрического поля на амплитуду и длительность процессов, протекающих в нитевидных кристаллах азидов серебра и свинца после УФ-облучения. Хранение облученных образцов в слабом поперечном бесконтактном электрическом поле независимо от полярности поля ведет к затуханию реакции разложения. Бесконтактное электрическое поле является причиной дрейфа не только дырок, но и ионных дефектов. Подвижность последних на несколько порядков меньше, чем дырок. Дрейф ионов приводит к поляризации кристалла и «гашению» реакции разложения, инициированного УФ-облучением. Используя переменное электрическое поле определенной частоты, можно избавиться от проблемы ионной поляризации кристалла, и провести более достоверные, особенно в случае использования малых электрических полей, исследования. Наиболее сильное влияние на физико-химические процессы, протекающие в исследуемых материалах после энергетического воздействия, оказывает переменное поле с частотой 50 Гц в диапазоне напряженностей  $0,1 \div 0,2$  В/мм [2], поэтому в работе использовали именно эту частоту переменного бесконтактного электрического поля. Для наиболее наглядного представления влияния слабого бесконтактного электрического поля на процессы, протекающие после УФ-облучения в АТМ, построен график зависимости амплитуды первых максимумов на кривой кинетики пост-процессов от значения напряженности полей различной конфигурации (см. рис. 2. а, б). Наблюдается «гашение» реакции разложения, инициированного УФ-облучения, при любой конфигурации поля относительно кристалла. Таким образом, слабое бесконтактное электрическое поле можно рассматривать как ингибитор твердофазной химической реакции в азиде серебра и свинца, а также как способ управления процессом разложения азидов тяжелых металлов.

Поскольку химическая реакция в анионной подрешетке АТМ протекает до образования в объеме образца относительно устойчивого промежуточного продукта [14], изучение его образования в слабом бесконтактном электрическом поле позволит приблизиться к пониманию механизма влияния поля на процесс твердофазного разложения кристаллов. Экспериментально установлено что количество накопленного промежуточного продукта при хранении облученных УФ-светом образцов в электрическом поле напряженностью  $10^{-1}$ – $10^{-6}$  В/см существенно уменьшается. Кроме того, наблюдается корреляция между количеством накопления промежуточного продукта и относительным объемом конечного газообразного продукта разложения азидов. Уменьшение количества образующегося промежуточного продукта в присутствии слабого бесконтактного поля позволяет косвенно судить о влиянии слабого электрического поля, прежде всего, на стадию образования промежуточного продукта твердофазного разложения азидов.

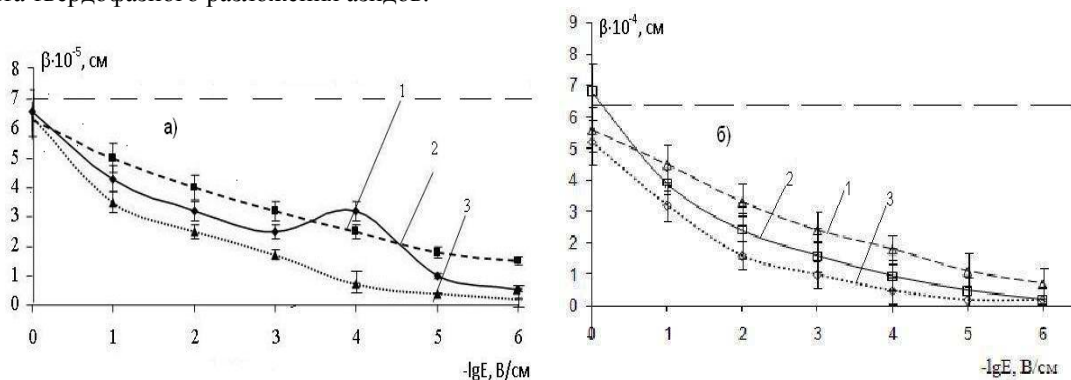


Рис. 2. Зависимость амплитуды первых максимумов на кривой кинетики пост-процессов фотохимического разложения нитевидных кристаллов а) азида серебра и б) азида свинца от напряженности: 1. бесконтактного продольного; 2. бесконтактного поперечного; 3. переменного (частота 50 Гц) электрического поля; пунктирная линия – величина первого максимума на кривой пост-процессов разложения в отсутствие поля

Практическая значимость работы определяется возможностью использования полученных экспериментальных результатов для целенаправленного изменения реакционной способности энергетических материалов. Предложенные в работе методы управления процессом фотохимического разложения АТМ с помощью бесконтактного электрического поля могут быть использованы при исследовании физико-химических процессов, инициированных внешним воздействием в других материалах.

#### Литература.

1. Багал, Л. И. Химия и технология инициирующих взрывчатых веществ. / Л. И. Багал. - М.: Машиностроение, 1975. - 456 с.
2. Захаров, В.Ю. Медленное разложение азидов серебра и свинца / В.Ю. Захаров, В.И. Крашенинин.- Томск: Изд-во НТЛ, 2006. – С. 168.
3. Крашенинин, В.И. О модели фотохимического разложения нитевидных кристаллов азидов серебра и свинца / В.И. Крашенинин, Е.Г. Газенаур, Л.В. Кузьмина, Д.С. Макеев. // Вестник ТГУ, 2006.- №19. - С. 100-102.
4. Захаров, В.Ю. Физико-химические процессы в азидовых тяжелых металлов и дислокационная структура / В.Ю. Захаров, В.И. Крашенинин, Е.Г. Газенаур, А.И. Гасанов. // Журнал «Известия ВУЗов». Серия Физика. - 2002.- №6. - С. 17-21.
5. Патент РФ. № 93043944/25, 27.05.97. Способ визуального определения дрейфовой подвижности в азидовых тяжелых металлов / В.И. Крашенинин, Е.Г. Газенаур, А.Ю. Сталинин // № 93043944/25, 27.05.97, Бюл. №15. - С. 1-8.
6. Савельев, Г.Г. Влияние электрического и магнитного полей на термическое разложение твердых веществ // Труды 1 конференции молодых ученых-химиков г. Томска. - Изд. Томского ун-та. - 1970. - С. 71-73.
7. Кабанов, А.А. Влияние электрического поля на термическое разложение твердых веществ / А.А. Кабанов, Е.М. Зингель // Успехи химии, 1975. - Т.44. - №7. - С.1194-1216.

8. Патент РФ. № 93043944/25, 27.05.97. Способ визуального определения дрейфовой подвижности в азиды тяжелых металлов / В.И. Крашенинин, Е.Г. Газенаур, А.Ю. Сталинин // № 93043944/25, 27.05.97, Бюл. №15. С. 1-8.
9. Zakharov, V.Yu. The control of solid phase decomposition of silver azide by noncontact electric field / V. Yu. Zakharov, V. I. Krasheninina, L. V. Kouzmina, Yu. A. Zakharov // Solid State Ionics. - 1997. - V. 101-103. - P. 161-164.
10. Газенаур, Е.Г. Влияние бесконтактного электрического поля на взрывную чувствительность кристаллов азидов серебра / Е.Г. Газенаур, В.И. Крашенинин, Л.В. Кузьмина, А.П. Родзевич // Материаловедение. 2010. - № 4. - С. 14-19.
11. Крашенинин, В.И. Управление медленным и взрывным разложением азидов серебра бесконтактным электрическим полем / В.И. Крашенинин, Е.Г. Газенаур, Л.В. Кузьмина, А.П. Родзевич // Бутлеровские сообщения. - 2010. - Т. 23. - №14. - С. 66-72.
12. Крашенинин, В.И. Способы управления стабильностью азидов серебра / В.И. Крашенинин, Л.В. Кузьмина, Е.Г. Газенаур, О.В. Целиковская // Ползуновский вестник. 2009. - №3. - С. 48-51.
13. Heal, H. G. A microgaseometric procedure / H. G. Heal // Nature. - 1953. - V. 172. - P. 30.
14. Газенаур, Е.Г. О продуктах медленного разложения азидов свинца и серебра / Е.Г. Газенаур, В.И. Крашенинин, А.И. Гасанов, В.Ю. Захаров. - Деп. в ВИНТИ. №2662-В00. Кемерово, 2000. - 19 с.
15. Сангвал, К. Травление кристаллов: Теория, эксперимент, применение / К. Сангвал.- М.: Мир, 1990. - 492 с.

## НОВЫЕ МАТЕРИАЛЫ ДЛЯ УПРАВЛЕНИЯ СТРУКТУРОЙ И СВОЙСТВАМИ МЕТАЛЛОВ

*М.А. Кузнецов, ст. преподаватель, Д.С. Карцев, студент гр. 10А12*

*Юргинский технологический институт (филиал) Национального исследовательского*

*Томского политехнического университета*

*652055, Кемеровская обл., г. Юрга, ул. Ленинградская, 26*

Модификатор (от позднелат. *modifico* – видоизменяю, меняю форму) – вещество, которое существенно изменяют структуру и свойства обработанного им металла или сплава. Эффект от такой обработки называется модифицированием [1]. Модифицирование – процесс активного регулирования первичной кристаллизации или изменения степени дисперсности кристаллизующихся фаз путём введения в расплав добавок отдельных элементов или их соединений [2]. Модифицированием можно добиться измельчения макро и микроструктуры; фазовых составляющих эвтектик; первичных кристаллов; формы, а также изменения размера и распределения неметаллических включений. Модифицирование металлов можно произвести несколькими способами: вводом в расплав добавок-модификаторов; применением различных физических воздействий (регулирование температуры расплава, предварительное охлаждение расплава при переливе, суспензионная разливка, литье в температурном интервале кристаллизации, вибрация, ультразвук, электромагнитное перемешивание); комбинированными способами, сочетающие вышеизложенные.

По природе воздействия модификаторы можно разделить на три вида: модификаторы 1-го рода, 2-го и 3-го рода. Модификаторы 1-го рода влияют на структуру за счет изменения энергетических характеристик (энергия активации и поверхностное натяжение) зарождения новой фазы. Модификаторы 2-го рода изменяют структуру, влияя на нее, как зародыши твердой фазы. Модификаторы 3-го рода – холодильники / инокуляторы – снижают температуру металла и повышают скорость кристаллизации, тормозя тем самым развитие ликвации элементов.

Наибольшее применение получили модификаторы 1-го рода. К ним относят примеси, неограниченно растворимые в жидкой фазе и мало растворимые в твердой фазе (0,001...0,1%). Эти примеси в свою очередь можно разделить на два типа: не изменяющие поверхностные свойства кристаллизующейся фазы и меняющие поверхностное натяжение на границе расплав-кристалл. Модификаторы первого типа могут тормозить рост твердой фазы только за счет концентрационного барьера на границе расплав-кристалл. При этом не происходит изменения энергетических характеристик процесса. Добавки второго типа, снижают поверхностное натяжение на границе расплав-кристалл и избирательно концентрируются на поверхности кристаллов (дендритов). Таким образом, ввод модификаторов 1-го рода сопровождается изменением поверхностного натяжения и энергии активации в противоположных направлениях, одновременно измельчается макроструктура и укрупняется микроструктура, т.е. оказывается комплексное воздействие на макро- и микроструктуру. Модификаторы 1-го рода представлены в таблице 1 [3].